

---

---

# ОПТИЧЕСКИЕ И ОПТИКО-ЭЛЕКТРОННЫЕ ПРИБОРЫ И СИСТЕМЫ

---

---

УДК 535.317

А. Л. СУШКОВ

## ИСПРАВЛЕНИЕ СФЕРИЧЕСКОЙ АБЕРРАЦИИ И ХРОМАТИЗМА В СИНГЛЕТЕ И ДУБЛЕТЕ ВВЕДЕНИЕМ ОСЕВОГО ГРАДИЕНТА ПОКАЗАТЕЛЯ ПРЕЛОМЛЕНИЯ

Рассмотрены теоретические модели исправления сферической и сферохроматической aberrаций в одиночной линзе и дублете при наличии в линзах осевой неоднородности показателя преломления. Показано, что в одиночной линзе хроматизм можно устранить при аномальном ходе дисперсии градиента показателя преломления. В дублете исправление хроматизма возможно как при нормальном, так и аномальном ходе дисперсии градиента.

**Ключевые слова:** линза, дублет, хроматизм положения, сферохроматизм, неоднородность показателя преломления, дисперсия градиента показателя преломления.

Анализ возможности исправления сферической aberrации третьего порядка и хроматической первой в одиночной линзе (синглете) и блоке из двух склеенных линз (дублете) будем рассматривать при задании распределения показателя преломления (ПП) зависимостью:

$$n(z) = n_0(\lambda) + n_{01}(\lambda)z + n_{02}(\lambda)z^2, \quad (1)$$

где  $n_0(\lambda)$  — показатель преломления в исходной точке;  $n_{01}(\lambda)$ ,  $n_{02}(\lambda)$  — aberrационные коэффициенты. Оптическая ось совпадает с осью  $Z$  системы координат  $OXYZ$ , привязанной к входной поверхности линзы.

**Сферическая aberrация.** Известно [1] выражение для коэффициента сферической aberrации  $S_1$ :

$$\bar{S}_1 = \bar{S}_{1H} + \bar{S}_{1G} + \tilde{S}_1, \quad (2)$$

где  $\bar{S}_{1H}$ ,  $\bar{S}_{1G}$  — однородно-поверхностная и неоднородно-поверхностная составляющие,  $\tilde{S}_1$  — вклад переноса.

Составляющие  $\bar{S}_{1H}$ ,  $\bar{S}_{1G}$  вычисляются при суммировании по поверхностям, согласно формулам:

$$\bar{S}_{1H} = \sum hP, \quad P = \left( \frac{\delta\alpha}{\delta\mu} \right)^2 \delta(\alpha\mu) \quad \bar{S}_{1G} = \sum \frac{\delta(n_{01} + 2n_{02}t)}{r^2} h^4, \quad (3)$$

где  $\delta\alpha = \alpha_{k+1} - \alpha_k$ ,  $\delta\mu = \mu_{k+1} - \mu_k$ ,  $t$  — глубина зоны неоднородного ПП, составляющей не менее величины стрелки прогиба поверхности, в область которой вводится градиент ПП;  $\mu = 1/n$ ,  $\alpha$  — угол с оптической осью первого вспомогательного луча;  $h$ ,  $r$  — высота луча и радиус кривизны оптической поверхности. Условия нормировки осевого луча:  $\alpha_1 = 0$ ,  $h_1 = f'$ ,  $\alpha'_p = 1$ .

Для упрощения анализа будем считать распределение показателя преломления линейной функцией от  $z$  ( $n_{02}=0$ ).

Очевидно, чтобы исправить сферическую абберацию, не принимая во внимание составляющую вклада переноса, должно выполняться условие:

$$\sum hP = -\sum \frac{\delta n_{01}}{r^2} h^4.$$

Сферическую абберацию в одиночной линзе или дублете можно исправить за счет введения неоднородности ПП в одной или обеих линзах.

При последовательном расположении в блоке *однородной и градиентной сред (H-G)*, разделенных поверхностью с радиусом кривизны  $r$ , имеем:

$$\bar{S}_{1H} = -\frac{n_{01}}{r^2} h^4,$$

откуда

$$n_{01} = -\bar{S}_{1H} \frac{r^2}{h^4}. \quad (4)$$

При переходе луча из *градиентной среды в однородную (H-G)* имеем:

$$\bar{S}_{1H} = \frac{n_{01}}{r^2} h^4 \text{ и } n_{01} = \bar{S}_{1H} \frac{r^2}{h^4}. \quad (5)$$

Таким образом, по величине коэффициента  $S_1$  исходной однородной системы, рассчитанной с помощью программ анализа аббераций третьего порядка, например OPAL-PC, используя формулу (4) или (5), получим исходное значение коэффициента  $n_{01}$  линейного распределения ПП, которое в дальнейшем уточняется путем экстраполяции по результатам расчета через градиентную оптическую систему реальных лучей. Следует обратить внимание на то, что коэффициенты  $n_{01}$  в формулах (4) и (5) определяют необходимую величину показателя преломления  $n$  лишь на границе однородной и неоднородной сред. Данный подход исправления сферической абберации можно распространить и на более сложные конструкции оптических систем.

**Хроматизм положения одиночной линзы.** Известно [2] выражение для хроматической абберации положения *однородной* оптической системы, включающей  $p$  поверхностей:

$$ds'_p = \frac{1}{n'_p \alpha'_p{}^2} \sum_{k=1}^p h_k \left( \frac{\delta \alpha}{\delta \left( \frac{1}{n} \right)} \right)_k \delta \left( \frac{dn}{n} \right)_k, \quad (6)$$

где  $k$  — текущий номер поверхности.

При

$$\bar{C}_k = \left( \frac{\delta \alpha}{\delta \left( \frac{1}{n} \right)} \right)_k \delta \left( \frac{dn}{n} \right)_k \quad (7)$$

коэффициент хроматической абберации положения  $S_{1xp}$  обычно записывают как

$$S_{1xp} = \sum_{k=1}^p h_k \bar{C}_k. \quad (8)$$

Тогда (6) будет иметь вид:

$$ds'_p = \frac{1}{n'_p \alpha'_p{}^2} S_{\text{Ixp}}. \quad (9)$$

Для линзы конечной толщины в воздухе можно записать

$$ds'_p = \frac{1}{\alpha_3^2} (h_1 C_1 + h_2 C_2). \quad (10)$$

Согласно принятому обозначению  $\mu = \frac{1}{n}$ , с учетом известной зависимости  $\frac{dn}{n} = \frac{1-\mu}{v_{00}}$

будем иметь:

$$C_1 = \left( \frac{\alpha_2 - \alpha_1}{\mu_2 - \mu_1} \right) \left( \frac{dn_2}{n_2} - \frac{dn_1}{n_1} \right) = -(\alpha_2 - \alpha_1) \frac{dn_1}{n_1 - 1} = -\frac{\alpha_2 - \alpha_1}{v_1},$$

$$C_2 = \left( \frac{\alpha_3 - \alpha_2}{\mu_3 - \mu_2} \right) \left( \frac{dn_3}{n_3} - \frac{dn_2}{n_2} \right) = -(\alpha_3 - \alpha_2) \frac{dn_2}{n_2 - 1} = -\frac{\alpha_3 - \alpha_2}{v_2}, \quad (11)$$

где  $dn_1 = (n_{\lambda_1} - n_{\lambda_2})_1$  — средняя дисперсия на поверхности линзы 1;  $dn_2 = (n_{\lambda_1} - n_{\lambda_2})_2$  — средняя дисперсия на поверхности линзы 2,  $v_1, v_2$  — коэффициенты дисперсии на поверхностях линзы.

С учетом известных соотношений  $h_1 = \alpha_1 S_1$  и  $h_2 = h_1 - \alpha_2 d = \alpha_1 s_1 - \alpha_2 d$  получим

$$ds'_p = -\frac{1}{\alpha_3^2} \left( h_1 \frac{\alpha_2 - \alpha_1}{v_1} + h_2 \frac{\alpha_3 - \alpha_2}{v_2} \right) = -\frac{1}{\alpha_3^2} \left( h_1 \frac{\alpha_2 - \alpha_1}{v_1} + (h_1 - \alpha_2 d) \frac{\alpha_3 - \alpha_2}{v_2} \right). \quad (12)$$

После преобразований будем иметь

$$\Delta s'_p = -\frac{1}{\alpha_3^2} \left\{ h_1 \left[ \frac{\alpha_2 - \alpha_1}{v_1} + \frac{\alpha_3 - \alpha_2}{v_2} \right] - \frac{\alpha_2}{v_2} d (\alpha_3 - \alpha_2) \right\}. \quad (13)$$

Если ввести обозначения

$$\Phi_{1\text{пов}} = \frac{\alpha_2 - \alpha_1}{h_1} \quad \Phi_{2\text{пов}} = \frac{\alpha_3 - \alpha_2}{h_2},$$

то получим

$$ds'_p = -\frac{1}{\alpha_3^2} \left( h_1 \left[ \frac{1}{v_1} \Phi_{1\text{пов}} h_1 + h_2 \frac{1}{v_2} \Phi_{2\text{пов}} \right] - \frac{\alpha_2}{v_2} d \Phi_{2\text{пов}} h_2 \right). \quad (14)$$

В случае тонкой линзы  $d \approx 0$  можно считать, что  $h_1 = h_2$ , и в окончательном виде хроматическая aberrация положения однородной тонкой линзы будет такова:

$$ds'_p = -\frac{1}{\alpha_3^2} h_1^2 \left( \frac{\Phi_{1\text{пов}}}{v_1} + \frac{\Phi_{2\text{пов}}}{v_2} \right). \quad (15)$$

Оптическая сила линзы  $\Phi$  равна сумме оптических сил поверхностей  $\Phi_{1\text{пов}}$  и  $\Phi_{2\text{пов}}$ , где

$$\Phi_{1\text{пов}} = \frac{n_0 - 1}{r_1}, \quad \Phi_{2\text{пов}} = \frac{1 - n_z}{r_2}. \quad (16)$$

Если ввести понятие „поверхностный коэффициент дисперсии  $v_{\text{пов}}$ “, то из (15) и (16) получаем условие исправления хроматической aberrации положения в одиночной линзе с осевым градиентом:

$$\left( \frac{n_0 - 1}{v_{1\text{пов}} r_1} - \frac{n_z - 1}{v_{2\text{пов}} r_2} \right) = 0. \quad (17)$$

Из (17) получаем соотношение для радиусов кривизны поверхностей, чисел Аббе и показателей преломления в полярных точках поверхностей при исправленном хроматизме положения:

$$\frac{r_1}{r_2} = \frac{v_{2\text{пов}}(n_0 - 1)}{v_{1\text{пов}}(n_z - 1)}. \quad (18)$$

Анализ (18) показывает, что при известных параметрах градиентных сред исправление хроматизма положения возможно в довольно узком диапазоне радиусов кривизны поверхностей одного знака.

Для исправления хроматизма положения при известных параметрах исходной однородной линзы (15) получаем желаемую величину коэффициента дисперсии на поверхности 2  $v_{2\text{пов}}$  в полярной точке второй поверхности:

$$v_{2\text{пов}} = -\frac{v_{1\text{пов}}\Phi_{2\text{пов}}}{\Phi_{1\text{пов}}}. \quad (19)$$

При линейной зависимости распределения ПП можно получить выражение для коэффициента  $v_{2\text{пов}}$ :

$$v_{2\text{пов}} = \frac{(n_0 - 1 + \Delta n)v_1 v_{01}}{(n_0 - 1)v_{01} + \Delta n v_1}, \quad (20)$$

где  $\Delta n$  — перепад показателя преломления,  $v_{01}$  — коэффициент дисперсии градиентной среды:

$$v_{01} = \frac{n_{01\lambda 0}}{n_{01\lambda 1} - n_{01\lambda 2}}. \quad (21)$$

Приравняв (19) и (20), с учетом (16) и (21) получим выражение для числа Аббе среды  $v_{01}$ :

$$v_{01} = -\frac{(1 - n_z)\rho_2 \Delta n v_1}{(n_0 - 1)[(n_0 - 1)\rho_1 + (1 - n_z)\rho_2] + (n_0 - 1)\rho_1 \Delta n}, \quad (22)$$

где  $\rho_1, \rho_2$  — кривизна поверхностей линзы;  $n_0, n_z$  — величины ПП в полярных точках первой и второй поверхностей.

Расчет по формуле (22) дал значение  $v_{01} = -4,17$ . Полученные формулы являются приближенными, их точность повышается с уменьшением толщины линзы.

**Пример.** Было выполнено моделирование в среде OPAL положительного мениска для определения возможности исправления сферической аберрации и хроматизма положения при градиенте ПП в области *второй поверхности*.

Расчитанная система имеет параметры:  $r_1 = -355,0$ ;  $d = 8$ ;  $\Phi_6$ ;  $n_e = 1,607$ ;  $n_{F'} = 1,6154$ ;  $n_C = 1,59929$ ;  $r_2 = -49,998$ ;  $D_{зр} = 20$  мм;  $\Delta z = 6,25$  мм;  $n_{01e} = 0,033 \text{ мм}^{-1}$ ;  $n_{01F'} = 0,030 \text{ мм}^{-1}$ ;  $n_{01C} = 0,03526 \text{ мм}^{-1}$ ;  $n_z = 1,66475$ ;  $\Delta n = 0,05775$ ;  $v_{01} = -6,27$ ;  $v_1 = 37,67$ ;  $v_{1\text{пов}} = 37,67$ ;  $v_{2\text{пов}} = 96,3$ .

Здесь  $\Delta z$  — смещение плоскости начала неоднородного ПП от начала предыдущей поверхности. Величина коэффициента  $n_{01e}$  рассчитана по формуле (5).

Зона градиентного показателя преломления в области поверхности 2 начинается на расстоянии  $\Delta z = 6,25$  мм от входной поверхности. Уточнение коэффициента  $v_{01}$ , полученного по (22), привело к  $v_{01} = -6,27$ . Таким образом, получена отрицательная величина коэффициента дисперсии градиентной среды, из чего, согласно (21), следует  $n_{01\lambda 1} < n_{01\lambda 2}$ .

Анализ показал, что хроматизм положения в положительном мениске может быть исправлен GRIN-средой с отрицательным градиентным числом Аббе. Такой коэффициент получается при аномальном ходе дисперсии градиента ПП.

Результаты моделирования мениска в среде OPAL на исправление хроматизма положения и сферохроматизма приведены на рис. 1: *a* — ход лучей осевого пучка; *b, в* — графики продольной и поперечной сферических аберраций при исправленном хроматизме положения

(б,  $\nu_{01} = -6,27$ ) и сферохроматизме ( $\nu$ ,  $\nu_{01} = -5,50$ ). Видно, что при  $\nu_{01} = -6,27$  в мениске исправлена хроматическая aberrация положения, при  $\nu_{01} = -5,50$  исправлена хроматическая разность сферических aberrаций на середине входного зрачка.

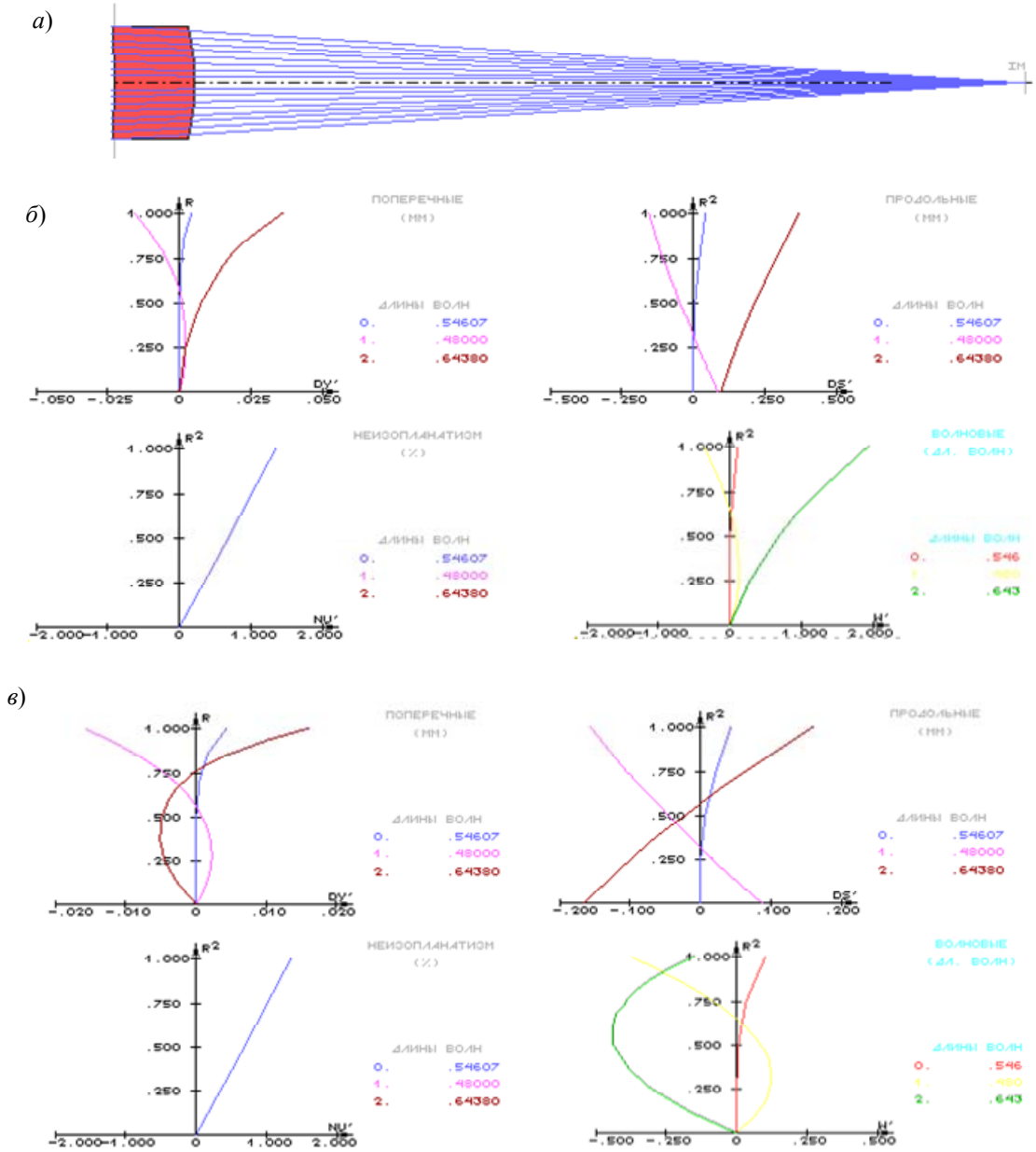


Рис. 1

**Хроматизм положения дублета.** Дублет обычно рассматривают как блок из двух линз, находящихся в соприкосновении [2]. При наличии градиента показателя преломления в первой линзе блока при положении предмета на конечном расстоянии  $-a_1$  от передней главной плоскости первой линзы хроматическую aberrацию положения можно записать в виде:

$$ds'_k = -a'_2 \left( \frac{\Phi_{1\text{пов}}}{\nu_{1\text{пов}}} + \frac{\Phi_{2\text{пов}}}{\nu_{2\text{пов}}} + \frac{\Phi_2}{\nu_3} \right), \quad (23)$$

где  $\Phi_{1\text{пов}}$ ,  $\Phi_{2\text{пов}}$  — оптическая сила первой и второй поверхностей первой линзы,  $\Phi_2$  — оптическая сила второй линзы.

Для первой линзы имеем:

$$\Phi_{1\text{пов}} + \Phi_{2\text{пов}} = \Phi_1,$$

где

$$\Phi_{1\text{пов}} = \frac{n_0 - 1}{r_1}, \quad \Phi_{2\text{пов}} = \frac{1 - n_z}{r_2}. \quad (24)$$

Подстановка (24) в (23) дает в окончательном виде

$$ds'_k = -a'_2 \left( \frac{n_0 - 1}{v_{1\text{пов}} r_1} + \frac{1 - n_z}{v_{2\text{пов}} r_2} + \frac{\Phi_2}{v_3} \right), \quad (25)$$

при положении предмета на бесконечности  $a'_2 = f'$ :

$$ds'_k = -f' \left( \frac{n_0 - 1}{v_{1\text{пов}} r_1} - \frac{n_z - 1}{v_{2\text{пов}} r_2} + \frac{\Phi_2}{v_3} \right). \quad (26)$$

Из (26) получаем условие исправления хроматизма положения при наличии градиента в первой линзе блока:

$$\left( \frac{n_0 - 1}{v_{1\text{пов}} r_1} - \frac{n_z - 1}{v_{2\text{пов}} r_2} + \frac{\Phi_2}{v_3} \right) = 0. \quad (27)$$

При наличии градиента показателя преломления во второй линзе блока и нахождении предмета на конечном расстоянии  $-a_1$  от передней главной плоскости первой линзы:

$$ds'_k = -a'_2 \left( \frac{\Phi_1}{v_1} + \frac{\Phi_{2\text{пов}}}{v_{2\text{пов}}} + \frac{\Phi_{3\text{пов}}}{v_{3\text{пов}}} \right). \quad (28)$$

Для второй линзы имеем:

$$\Phi_{2\text{пов}} + \Phi_{3\text{пов}} = \Phi_2,$$

где

$$\Phi_{2\text{пов}} = \frac{n_0 - 1}{r_2}, \quad \Phi_{3\text{пов}} = \frac{1 - n_z}{r_3}. \quad (29)$$

Подстановка (24) в (23) дает в окончательном виде

$$ds'_k = -a'_2 \left( \frac{n_0 - 1}{v_{1\text{пов}} r_1} + \frac{1 - n_z}{v_{2\text{пов}} r_2} + \frac{\Phi_2}{v_3} \right). \quad (30)$$

При положении предмета на бесконечности имеем  $a'_2 = f'$ :

$$ds'_k = -f' \left( \frac{n_0 - 1}{v_{1\text{пов}} r_1} - \frac{n_z - 1}{v_{2\text{пов}} r_2} + \frac{\Phi_2}{v_3} \right). \quad (31)$$

Из (26) получаем условие исправления хроматизма положения

$$\left( \frac{n_0 - 1}{v_{1\text{пов}} r_1} - \frac{n_z - 1}{v_{2\text{пов}} r_2} + \frac{\Phi_2}{v_3} \right) = 0. \quad (32)$$

В случае однородных линз получаем известную формулу:

$$(n - 1) \left( \frac{1}{r_1} - \frac{1}{r_2} \right) \frac{1}{v_1} + \frac{\Phi_2}{v_3} = 0.$$

Анализ (27) показывает, что в дублете из однородной и градиентной линз возможность исправления хроматизма существенно выше, чем в одиночной градиентной линзе за счет наличия в каталогах большого разнообразия стекол с различными  $n$  и  $v$ .

Конструктивные данные исходной однородной системы с  $f' = 98,049$  мм,  $S'_F = 94,728$  мм,  $D_{\text{зр}} = 35,72$  мм,  $f/2,8$  следующие:  $r_1 = 100,0$ ,  $r_2 = -100$ ;  $d_1 = 7$ , GLA PSK52,  $n_{\lambda_0} = 1,603101$ ,  $n_{\lambda_1} = 1,609503$ ,  $n_{\lambda_2} = 1,600282$ ,  $v_{00} = 65,408$ ;  $r_2 = -100,0$ ,  $r_3 = -128,5849$ ;  $d_2 = 3$ , GLA G32SFN,  $n_{\lambda_0} = n_{\lambda_1} = n_{\lambda_2} = 1,766606$  [3]. На рис. 2 представлены ход лучей (а) и сферохроматические aberrации (б).

Спектральный диапазон:  $\lambda_0 = 0,58756$ ,  $\lambda_1 = 0,48613$ ,  $\lambda_2 = 0,65627$  мкм.

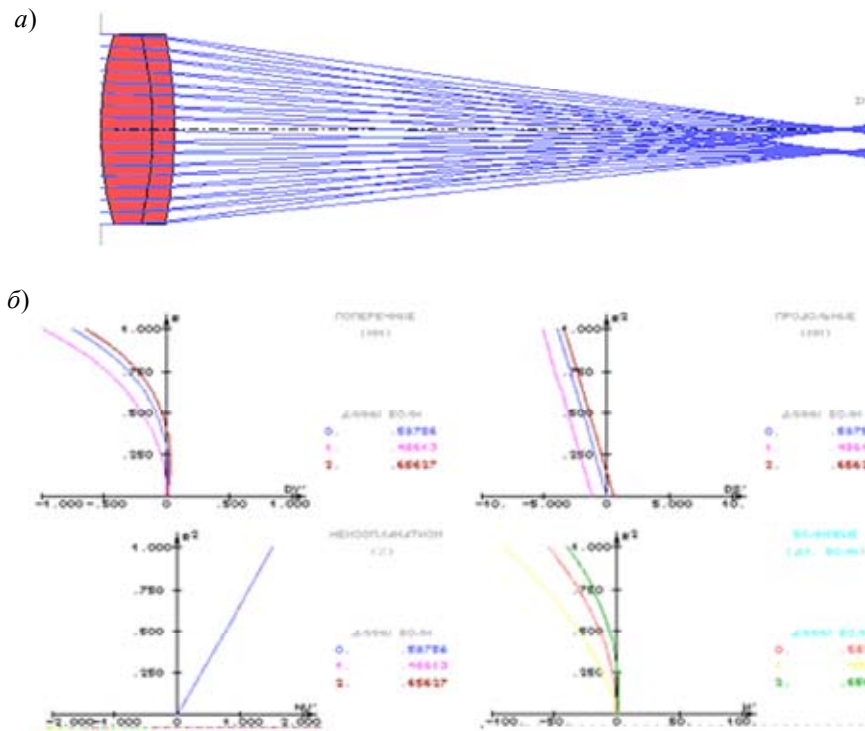


Рис. 2

Расчет величин поверхностных коэффициентов  $S_1$  при нормировке  $h_1=f'$  позволил получить результаты:  $h_1=98,049$  мм;  $S_{1.1}=21,689$ ;  $S_{1.2}=-38,956$ ;  $S_{1.3}=245,871$ ;  $S_1=S_{1.1}+S_{1.2}+S_{1.3}=228,606$ .

Сферическая aberrация третьего порядка на краю зрачка имеет значение:  $\Delta s'_{\text{край}}=-3,792$  мм.

Реальная продольная сферохроматическая aberrация достигает  $-5$  мм, волновая aberrация  $W(\lambda) \approx -50\lambda$ . Пучок осевых лучей имеет явно выраженную каустику.

Градиент показателя преломления поочередно вводился в области всех поверхностей. Здесь  $R=m_{\text{кр}}/m$  — относительная высота луча на входном зрачке.

*Вариант 1.* Градиент ПП в регионе 1 поверхности первой линзы.

Параметры градиента ПП:  $n_{01\lambda 0}=-0,0248$  мм $^{-1}$ ,  $n_{01\lambda 1}=-0,034$  мм $^{-1}$ ,  $n_{01\lambda 2}=-0,020$  мм $^{-1}$ ,  $\nu_{01}=1,77$ .

Исправлен сферохроматизм на высоте  $0,75R^2$ ,  $f'=98,053$  мм,  $s_F=94,723$  мм.

*Вариант 2.* Градиент в регионе 2 поверхности первой линзы.

Параметры градиента ПП:  $n_{01\lambda 0}=0,029$  мм $^{-1}$ ,  $n_{01\lambda 1}=0,016$  мм $^{-1}$ ,  $n_{01\lambda 2}=0,0358$  мм $^{-1}$ ,  $\nu_{01}=-1,46$ .

Исправлен сферохроматизм на высоте  $0,5R^2$ ,  $f'=93,927$  мм,  $s_F=90,681$  мм.

*Вариант 3.* Градиент в регионе первой поверхности второй линзы.

Параметры градиента ПП:  $n_{01\lambda 0}=-0,026$  мм $^{-1}$ ,  $n_{01\lambda 1}=-0,034$  мм $^{-1}$ ,  $n_{01\lambda 2}=-0,018$  мм $^{-1}$ ,  $\nu_{01}=1,62$ .

Исправлен сферохроматизм на высоте  $0,75R^2$ ,  $f'=98,052$  мм,  $s_F=94,725$  мм.

*Вариант 4.* Градиент в регионе 2 поверхности второй линзы.

Параметры градиента ПП:  $n_{01\lambda 0}=0,050$  мм $^{-1}$ ,  $n_{01\lambda 1}=0,032$  мм $^{-1}$ ,  $n_{01\lambda 2}=0,056$  мм $^{-1}$ ,  $\nu_{01}=-2,08$ .

Исправлен сферохроматизм на высоте  $0,25R^2$ ,  $f'=98,053$ ,  $s_F=94,723$ .

Графики aberrаций и ход осевого пучка варианта 2 приведены на рис. 3. Видно, что введение в область поверхности 2 первой линзы линейного градиента показателя преломления

позволило исправить сферическую aberrацию на краю и сферохроматизм на середине входного зрачка при относительном отверстии  $f/3$ . Каустическая поверхность в осевом пучке отсутствует.

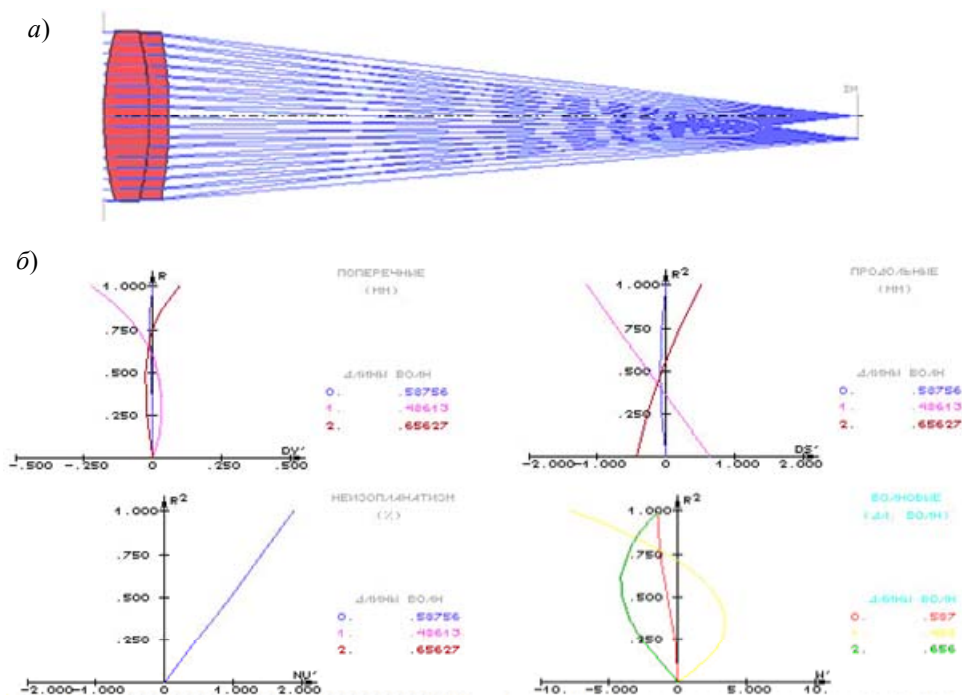


Рис. 3

**Заключение.** Рассмотрены пути повышения качества изображения за счет использования осевого неоднородного ПП в простейших линзовых конструкциях: одиночной линзе и дублете. Показано, что в одиночной линзе возможно исправить сферическую aberrацию и хроматизм при аномальном ходе дисперсии градиента ПП (отрицательной величине градиентного числа Аббе). В схеме дублета исправление сферической aberrации и сферохроматизма оказалось возможным за счет введения градиента показателя в регионы первой и второй поверхностей обеих линз. При этом градиентные числа Аббе  $v_{01}$  положительные на первых поверхностях и отрицательные на вторых поверхностях обеих линз блока.

#### СПИСОК ЛИТЕРАТУРЫ

1. Сушков А. Л. Монохроматические aberrации градиентов как базовых элементов жестких эндоскопов. М.: Изд-во МГТУ им. Н. Э. Баумана, 2008. 44 с.
2. Апенко М. И., Дубовик А. С. Прикладная оптика. М.: Наука, 1971. 392 с.
3. Инструкция по эксплуатации программы "Optics Software for Layout and Optimization (OSLO)". Корпорация Lambda Research Corporation, 2005.

#### Сведения об авторе

Александр Леонидович Сушков

— канд. техн. наук, доцент; МГТУ им. Н. Э. Баумана; кафедра оптико-электронных приборов научных исследований;  
E-mail: ale-sushkov@yandex.ru

Рекомендована кафедрой  
оптико-электронных приборов  
научных исследований

Поступила в редакцию  
28.10.10 г.